

## طراحی و مشخصه‌ابی عملگر نرم الکتروفعال - الهام گرفته از طبیعت، بر پایه کامپوزیت سیلیکون - اتانول\*

مقاله پژوهشی

امیرحسین ابراهیمی<sup>(۱)</sup> حجت زامیاد<sup>(۲)</sup> جواد صفایی<sup>(۳)</sup> سمانه صاحبیان<sup>(۴)</sup>

**چکیده** ساخت ربات‌های نرم برای تقلید حرکات طبیعی موجودات زنده با استفاده از تحریک خارجی قابل کنترل، غالباً به واسطه سیستم‌های تحریکی نظیر عملگرهای پنوماتیکی، هیدرولیکی، الکتریکی، مغناطیسی و حافظه‌دار انجام می‌پذیرد. در این پژوهش با الهام از ماهیچه‌های طبیعی، رباتی نرم با پاسخگویی سریع، به واسطه ساخت کامپوزیتی پلیمری با سیال تغییر فازدهنده به عنوان فاز ثانویه ساخته شد. عملگر ساخته شده قادر به جابه‌جایی به میزان ۲۵٪ (کشش عضلات طبیعی)، با صرف توانی معادل با ۱۲W می‌باشد. مشاهدات میکروساختاری بیانگر توزیع همگن فاز ثانویه درون میکروکپسول‌هایی با اندازه کمتر از  $20\ \mu m$  در سراسر زمینه می‌باشد. ثبات دمای داخلی عملگر در بازه  $60-70^\circ C$ ، در حین دوره‌های تحریکی متوالی و دستیابی به میزان جابه‌جایی مطلوب، موجب کاربرد این ربات نرم در بسیاری از حوزه‌ها می‌گردد.

**واژه‌های کلیدی** ربات نرم، ماهیچه مصنوعی، سیال تغییر فازدهنده، سیلیکون، اتانول.

## Design and Characterization of Electrically Driven-Bioinspired Soft Actuator based on Silicon-Ethanol Composite

A. H. Ebrahimi H. Zamyad J. Safaie S. Saheblian

### Abstract

Manufacturing soft robots to mimic the natural movements of living organisms by controllable external stimuli required actuation systems like pneumatic, hydraulic, electrical, magnetic, and memory actuators. Inspired by natural muscles, a fast-responsive soft robot was fabricated by a polymer composite with a phase-change fluid as a secondary phase. The synthesis actuator can displace up to 25% (normal muscle tension), with a power equivalent to 12W. The microstructural observations show that the second phase is homogeneously distributed within microcapsules of less than  $20\ \mu m$  in size across the matrix. The stability of the internal temperature of the actuator in the range of  $60-70^\circ C$  during successive excitation cycles and the ability to achieve the desired amount of displacement allows the use of this soft robot in many areas.

**Key Words** Soft Robot, Artificial Muscle, Phase Change Fluid, Silicon, Ethanol

\* تاریخ دریافت مقاله ۰۰/۱/۱۲ و تاریخ پذیرش آن ۰۰/۷/۲۹ می‌باشد.

(۱) دانشجوی کارشناسی ارشد، گروه مهندسی متالورژی و علم مواد، دانشکده مهندسی، دانشگاه فردوسی مشهد.

(۲) دانشجوی دکتری، گروه مهندسی برق، دانشکده مهندسی، دانشگاه فردوسی مشهد.

(۳) گروه مهندسی برق، دانشکده مهندسی، دانشگاه فردوسی مشهد.

(۴) نویسنده مسئول، گروه مهندسی متالورژی و علم مواد، دانشکده مهندسی، دانشگاه فردوسی مشهد. Email: S.Saheblian@um.ac.ir

## مقدمه

در دهه‌های اخیر، محققان با الهام از علم زیست‌شناسی درصدد ساخت و توسعه‌ی احجام نرمی بوده‌اند که قابلیت انجام حرکات برنامه‌ریزی شده را داشته باشد [1, 2]. در این میان یکی از قدم‌های اولیه برای دست‌یابی به حرکات طبیعی با استفاده از تحریک خارجی قابل کنترل، ساخت ربات‌هایی با مواد نرم به منظور ایجاد ساختارهایی نرم مطابق با سیستم‌های بیولوژیکی بوده است [3]. ربات‌های نرم، ساخته شده از مواد انعطاف‌پذیر و کشسان، تکنولوژی درحال ظهوری است که به موجب پیشرفت‌های اخیر صورت گرفته در حوزه مذکور، امروزه امکان تقلید از حرکات مختلف جانداران زنده مانند راه رفتن، خزیدن، جهیدن و گرفتن میسر شده است [4, 5]. عملگرهای نرم علاوه بر برخورداری از قابلیت ساخت به صورت افزایشی (پرینت سه بعدی)، برش و قالب‌گیری آسان در شکل دل‌خواه، قادر به ایجاد حالت برانگیخته ماکروسکوپی در ولتاژ و جریان نسبتاً کم می‌باشند. علاوه بر این، سیستم‌های نرم در مقایسه با ربات‌های مرسوم سخت که پیچیده و گران‌قیمت هستند، ابزاری کارآمد و مطلوب برای ایجاد حرکات طبیعی جانداران زنده است [6, 8].

از جمله چالش‌های اساسی در این حوزه تا به امروز، می‌توان به عدم وجود روش فرآوری ساده برای ایجاد عملگرهای نرم قدرتمند با کرنش قابل توجه اشاره نمود. مشکل اساسی در دست‌یابی به این هدف، توسعه‌ی موادی با قابلیت تحریک درونی/ذاتی، عملکرد حسی و تشخیصی و ویژگی کنترل کامپیوتری است. هم‌چنین چگونگی تحریک، عامل کلیدی دیگری در ساخت ربات‌های نرم می‌باشد [9]. عملگرهای متداول از سیستم‌های تحریکی مختلف نظیر تکنیک‌های پنوماتیکی (عملگر با هوای فشرده)، هیدرولیکی (عملگر با سیال تحت فشار)، الکتریکی (پلیمرهای الکترواکتیو)، مغناطیسی و یا حافظه‌داری (پلیمرها و آلیاژهای حافظه‌دار) استفاده می‌کنند [10-12]. لازم به ذکر است وابستگی پلیمرهای الکترواکتیو به ولتاژهای بالا برای تحریک، ایجاد کرنش‌های پایین در آلیاژهای حافظه‌دار و هم‌چنین نیاز به کمپرسور خارجی و اجزای تنظیم‌کننده فشار

در جهت راه‌اندازی عملگرهای پنوماتیکی و هیدرولیکی، کوچک‌سازی این عملگرها و استفاده از آن‌ها به عنوان اجزایی مستقل را محدود ساخته است.

در این میان مواد تغییرفازدهنده با قابلیت ایجاد نیروی مکانیکی به واسطه‌ی انبساط سریع در دمای انتقال خود، به عنوان جایگزینی جذاب در برابر عملگرهای الکترومکانیکی مرسوم معرفی شده‌اند [13]. از جمله مواد تغییرفازدهنده ابتدایی، پارافین است که برای نخستین بار در سال ۱۹۳۰ از خواص ترمومکانیکی آن در دریچه‌های خودتنظیم شونده گلخانه‌ها استفاده شد [14]. علی‌رغم ایجاد نیروهای بزرگ در عملگرهای بر پایه پارافین، کرنش مواد مذکور در بازه تغییرات حجمی ۱۰٪ باقی می‌ماند که کرنش هم‌تراز با آلیاژهای حافظه‌دار و بسیار کوچک برای اکثر کاربردهای رباتیکی می‌باشد. در این میان با استفاده از روش مبتنی بر تغییر فاز برگشت پذیر از مایع به بخار، ایجاد کرنش‌های قابل توجه و بسیار بزرگ قابل دست‌یابی است، هرچند که تاکنون سیستم‌های حاوی این مکانیزم با مشکل کنترل و انبارش فاز مایع مواجه بوده‌اند [15, 16]. علی‌رغم تحقیقات و پیشنهادات ارائه شده درخصوص محصورسازی فاز مایع، همانند انبارش میان دو فیلم نازک یا داخل بالون، هم‌چنان این ابزارآلات، قطعات و دستگاه‌ها با مشکلات زیادی در تولید، از جمله قالب‌ریزی و ایجاد اشکال دل‌خواه تا مشکلاتی در تولید افزایشی (پرینت سه بعدی) مواجه هستند.

در این میان الاستومرها با برخورداری از ترکیب زنجیره‌های بلند و پیوندهای عرضی، هر دو ویژگی الاستیسیته و قابلیت ارتجاعی را به نمایش می‌گذارند. الاستومرها با توانایی برگشت به شکل اولیه خود پس از تغییر شکل در اثر اعمال تنش، فشار، خمش و پیچش، قابلیت استفاده در احجام نرم را به منظور ایجاد حرکات مختلف دارند [17-20]. عملگرهای کامپوزیتی ساخته شده از زمینه سیلیکونی و اتانول به عنوان سیال تغییرفازدهنده، نخستین بار در سال ۲۰۱۶ میلادی معرفی گردیده و آزمون‌های متنوعی به منظور شناسایی مشخصه رفتاری آنها ارائه شده است [21-25]. عملگر کامپوزیتی ساخته شده توسط Miriyev و

به واسطه ایجاد گرمای ژول، از سیم مقاومتی نیکل - کروم به قطر ۲۵mm/۰ استفاده شد.

### آماده سازی کامپوزیت

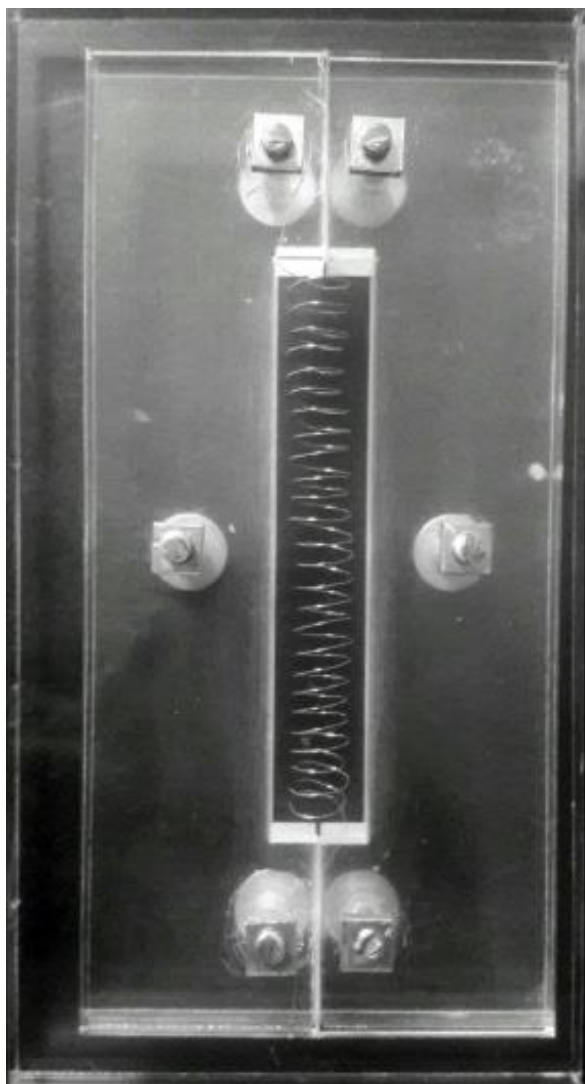
کامپوزیت مورد نظر به کمک اختلاط مکانیکی سیلیکون با اتانول در درصدهای حجمی ۱۰٪، ۲۰٪، ۳۰٪، ۴۰٪، ۵۰٪ ساخته شد. پس از اختلاط سیلیکون با اتانول برای مدت زمان تقریبی ۵ دقیقه، هاردنر با نسبت وزنی ۱ به ۵۰ (نسبت به وزن سیلیکون) به مخلوط اضافه گردید. سپس ماده به دست آمده برای قالب گیری در شکل مورد نظر آماده شد. در پژوهش حاضر فرآیند قالب گیری درون قالب از جنس پلی متیل متا کريلات (PMMA) به ابعاد ۱۵×۱۵×۹۰mm با تعبیه سیم از جنس Ni-Cr به شکل مارپیچ درون آن، انجام شد. سیم مقاومتی به طول ۷۵cm به وسیله پیچش به دور شفتی به قطر ۸mm، به شکل مارپیچ در آمد و درون قالب جانمایی شد. به منظور توزیع همگن انرژی حرارتی میان بخش های درونی (مغزی) و بیرونی عملگر، قطر سیم پیچ (۸mm) برابر با نصف عرض نمونه (۱۵mm) در نظر گرفته شد. باتوجه به هندسه مکعبی شکل نمونه، حجم کل مارپیچ به حجم کل ماده برابر با یک چهارم می باشد. لازم به ذکر است در نظر گرفتن شکل مارپیچی برای سیم مقاومتی، علاوه بر افزایش فصل مشترک میان سیم پیچ و کامپوزیت، از پارگی آن در حین تحریک و ازدیاد طول جلوگیری می نماید. سیم نیکل - کروم به دلیل برخورداری از ویژگی های مطلوبی نظیر مقاومت ویژه بالا (۶-۱۱۲×۱۰<sup>۶</sup> Ωm)، مقاومت بالا در برابر اکسیداسیون، استحکام کششی مطلوب و قیمت ارزان (در مقایسه با سیم هایی نظیر نقره)، انتخاب مناسبی برای استفاده به عنوان مسیر هادی درون عملگر نرم می باشد. پس از قالب گیری، پخت نمونه در دمای اتاق و به مدت ۴ ساعت صورت گرفت. در شکل (۱)، نمایی از قالب و ماهیچه پخت شده نشان داده شده است.

همکارانش علی رغم قابلیت ایجاد کرنش های بالا و تولید نیروی زیاد، پس از چند دوره کاری محدود (۷ دوره کاری)، به دلیل حذف اتانول از سیستم، دچار تخریب می شود [26]. ضمناً روش علمی مشخصی به منظور دستیابی به مقدار بهینه اتانول در سیلیکون و تفسیری از تغییرات وزنی کامپوزیت در نتیجه انجام دوره های تحریکی متعدد، در تحقیقات قبلی ارائه نشده است. در راستای تکمیل و ارتقای تحقیقات مذکور، در پژوهش حاضر روشی به منظور ساخت ماهیچه مصنوعی نرم و قدرتمند زمینه سیلیکونی با انتخاب درصد بهینه سیال تغییر فزاینده (اتانول) معرفی شد. در ادامه تأثیر زمان استراحت پس از هر دوره تحریکی بر مشخصه دما - جابه جایی عملگر در دو نمونه مختلف بررسی شد و در پایان ساختار میکرو سکویی کامپوزیت و تغییرات وزنی آن، مورد ارزیابی قرار گرفت. امید است نتایج حاصل از این پژوهش، گامی مؤثر به منظور بومی سازی فرآیند ساخت این دسته از ربات های نرم باشد و به شناخت بهتر خواص آنها در کاربردهای عملیاتی بیانجامد.

### مواد و روش تحقیق

#### مواد

انتخاب زمینه پلیمری و سیال برای سیستم کامپوزیتی چند جزئی باتوجه به خواص مکانیکی مورد انتظار از پلیمر، نقطه جوش و محدودیت های کاربری سیال و سازگاری شیمیایی دو جزء انتخاب شد. در این پژوهش به منظور دستیابی و سنتز ماده ای سازگار با محیط زیست و در عین حال ساده، ارزان و دارای کاربری آسان از سیلیکون الاستومر دو جزئی (سیلیکون و هاردنر) که ماده ای ایمن، بی خطر و دارای کاربری گسترده در رباتیک نرم است، به عنوان زمینه استفاده شد. اتانول (< ۹۹/۵٪) با نقطه جوش ۷۸/۳°C و سازگار با زمینه پلیمری به عنوان سیال تغییر فزاینده استفاده شد. هم چنین به منظور تحریک الکتریکی ماهیچه مصنوعی



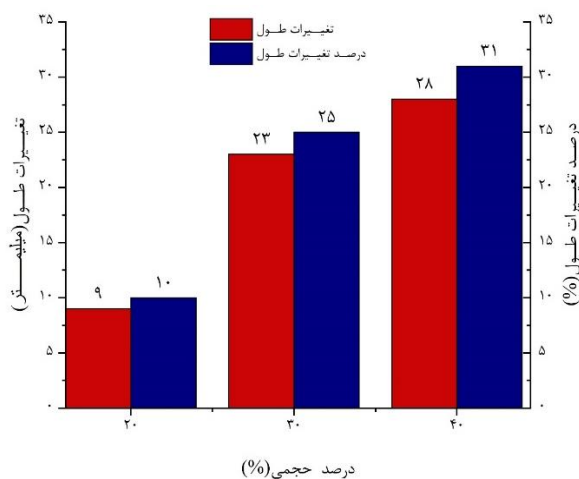
شکل ۱. نمایی از شکل قالب به‌همراه ماهیچه پخت‌شده

### مشخصه‌ابی

توزیع و اندازه حفرات در داخل زمینه پلیمری، با بررسی مورفولوژی سطحی کامپوزیت سیلیکون- اتانول، توسط میکروسکوپ الکترونی روبشی نشر میدانی (FESEM, MIRA3 TESCAN) تحت ولتاژ شتاب‌دهنده ۱۰Kv انجام شد. لازم به ذکر است که نمونه قبل از انجام آزمون، به صورت برودتی شکسته شد. سطح شکست با کند و پاش طلا بر روی آن به منظور جلوگیری از تجمع بار سطحی و ایجاد تصویر با وضوح بالاتر تحت پوشش‌دهی قرار گرفت.

به منظور تحریک الکتریکی ماهیچه‌های نرم به‌واسطه ایجاد گرما از ژول از منبع تغذیه دیجیتال مدل R&S NGPV (Rohde & Schwarz) استفاده شد. لازم به ذکر است در هر سیکل تحریکی به نمونه‌ها ولتاژ و جریانی به ترتیب برابر با ۲۰V و ۰/۶A (12W) اعمال شد. به منظور بررسی تغییرات دمای داخلی ماهیچه در حین سیکل‌های تحریکی، از حسگر تشخیص دما مدل pt1000 (ژاپن) استفاده گردید. همچنین به منظور ثبت رفتار حرکتی ربات نرم از دوربین دیجیتالی (Canon-ژاپن) استفاده شد.

شرایط تحریک الکتریکی مشابه ( $12W = 20V \times 6A$ ) قرار گرفتند. شکل (۲) بیانگر تغییرات طول، متناظر با هر یک از درصدهای حجمی مذکور است.



شکل ۲ نمودار تغییرات طول به‌عنوان تابعی از درصد حجمی سیال تغییرفازدهنده

لازم به ذکر است که الیاف عضلانی بیولوژیک، هنگامی که از یکی از اندام‌های بدن جدا شود و به‌صورت مصنوعی تحریک شود، می‌تواند به ۵۰٪ طول استراحت خود برسد (در نتیجه حین انقباض نیز ۵۰٪ کاهش طول داشته باشد) [7]. با این حال، در اکثر حیوانات، انقباض توسط مفاصلی که عضله به آن‌ها متصل است، محدود می‌شود و در نتیجه محدودیت مذکور، کشش عضله معمولاً کمتر از ۲۰٪ است؛ از این رو برای انتخاب درصد بهینه اتانول به‌منظور برآورده کردن هدف پژوهش مبنی بر شبیه‌سازی رفتار حرکتی ماهیچه‌های طبیعی، سه پارامتر اساسی در نظر گرفته شد: (۱) قابلیت مطلوب انبارش سیال، (۲) نرخ پایین هدررفت سیال، (۳) دستیابی به مقدار کرنش انبساطی معادل با حداقل ۲۰٪ (کرنش کششی عضلانی غالب در حیوانات). با کنار هم قرار دادن نتایج به‌دست آمده، درصد حجمی ۳۰٪ به‌عنوان مقدار بهینه سیال تغییرفازدهنده درون ماهیچه انتخاب گردید. کامپوزیت ۳۰٪ حجمی از اتانول علاوه بر نرخ انبارش مطلوب و هدررفت پایین سیال، کرنش مورد انتظار برای شبیه‌سازی رفتار ماهیچه‌های طبیعی را

## نتایج و بحث

### انتخاب درصد بهینه اتانول

به‌منظور انتخاب در صد بهینه اتانول در داخل زمینه پلیمری، در جهت عملکرد مطلوب ماهیچه مصنوعی، آزمونی دومرحله‌ای انجام شد. در ابتدا ۵ نمونه کامپوزیتی مختلف شامل ۵ml سیلیکون به‌همراه درصد‌های حجمی ۱۰، ۲۰، ۳۰، ۴۰، ۵۰ از اتانول تهیه شد. طبق مشاهدات انجام‌شده، آماده‌سازی کامپوزیت با درصد‌های حجمی اتانول بیش از ۳۰٪ علاوه بر دشواری در فرایند اختلاط، منجر به جدایش فازی در محفظه اختلاط گشت. لازم به ذکر است که با افزایش زمان اختلاط، تغییری در میزان درصد حجمی اتانول قابل حل درون سیلیکون ایجاد نشد. با ثابت نگه داشتن کدیۀ پارامترهای آزمون برای تمامی نمونه‌های کامپوزیتی، درصد جرم اتانول کاهش‌یافته برای تمامی نمونه‌ها به‌کمک توزین آن‌ها قبل و بعد از سنتز و بدون اعمال هیچ‌گونه تحریک الکتریکی اندازه‌گیری شد. جدول (۱) بیانگر درصد جرم اتانول کاهش‌یافته متناظر با درصد‌های حجمی متفاوت از سیال تغییرفازدهنده می‌باشد.

جدول ۱ درصد جرم اتانول کاهش‌یافته متناظر با درصد‌های حجمی متفاوت از سیال تغییرفازدهنده

درصد حجمی اتانول در ماهیچه (%)	۱۰	۲۰	۳۰	۴۰	۵۰
کاهش وزن اتانول (%)	۵۶	۳۹	۲۸	۲۹	۳۶

باتوجه به جدول (۱) نمونه کامپوزیتی با ۳۰٪ حجمی از اتانول بیشترین میزان انبارش اتانول و نمونه کامپوزیتی با ۱۰٪ حجمی از اتانول بیشترین هدر رفت سیال تغییرفازدهنده را داراست. در سنجش مقدار بهینه درصد حجمی اتانول درون ماهیچه، علاوه بر برخورداری از قابلیت مطلوب انبارش سیال و در عین حال نرخ پایین هدررفت آن، عامل کلیدی دیگر حداکثر طول انبساطی دست‌یافتنی متناظر با آن درصد حجمی در یک سیکل تحریکی معین است. برای این منظور سه نمونه کامپوزیتی با درصد‌های حجمی ۲۰، ۳۰ و ۴۰ از اتانول، با تعبیه ۷۵cm سیم از جنس نیکل - کروم درون آن‌ها تهیه گردید. تمامی نمونه‌ها تحت

زمان استراحت کوتاه‌تر، فرصت کمتری به منظور انتقال حرارت به بیرون دارد و در نتیجه هدررفت گرمایی آن کمتر است. انبارش انرژی در نمونه ۱ موجب قرارگیری اتانول موجود در میکروکپسول‌های سیلیکونی در پایان دوره استراحت، در دمایی نزدیک به دمای تغییر فاز (حدود  $7^{\circ}\text{C}$ ) می‌گردد. به موجب این امر دو نتیجه به دست می‌آید: (۱) فشار بخار اتانول درون میکروحفرات توزیع شده در زمینه کامپوزیت نسبت به نمونه دوم بیشتر است و با فراهم آوردن نیروی لازم برای غلبه بر کرنش الاستیک سیلیکون، مانع از برگشت کامل ماهیچه به شکل اولیه می‌شود، (۲) نمونه ۱ در مدت زمان تحریک یکسان (۱۱۰ ثانیه) قادر به ایجاد مقدار جابه‌جایی بیشتری خواهد بود. این در حالی است که نمونه ۲ به دلیل برخورداری از زمان استراحت طولانی‌تر، هدررفت گرمایی بیشتری دارد به طوری که در پایان دوره استراحت، کرنش الاستیک سیلیکون به تدریج بر نیروی مکانیکی حاصل از تغییر فاز اتانول غلبه می‌کند و ماهیچه تقریباً طول اولیه خود را بازیابی می‌کند. بنابراین زمان استراحت بیشتر به منزله بازیابی طول اولیه و زمان استراحت کمتر به معنی دست‌یابی به جابه‌جایی بیشتر خواهد بود. شایان ذکر است رفتار جابه‌جایی هر یک از نمونه‌های اول و دوم متناسب با کاربرد مورد نظر، مفید خواهد بود.

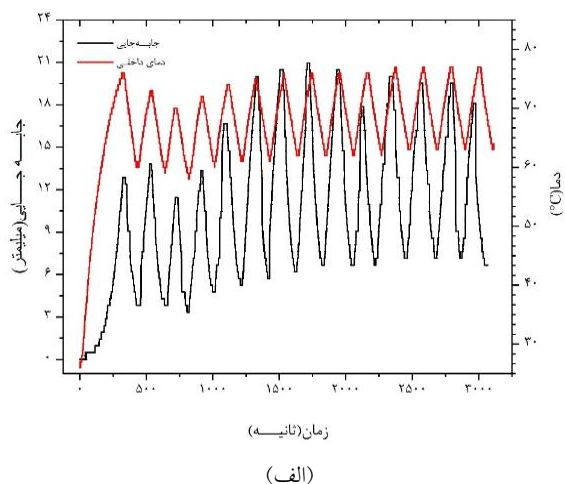
نمودارهای شکل (۳) به وضوح برتری ماهیچه مصنوعی ساخته شده در پژوهش حاضر را نسبت به نمونه ارائه شده توسط دانشگاه کلمبیا نشان می‌دهد. مطابق با گزارش Miriyev و همکارانش، کامپوزیت سیلیکون-اتانول پس از ۷ دوره کاری به دلیل حذف کامل اتانول از ماده، با افزایش ناگهانی دما مواجه می‌شود و دچار تخریب می‌گردد [26]. این در حالی است که ماهیچه مصنوعی پژوهش حاضر، ضمن ایجاد کرنشی معادل با نمونه دانشگاه کلمبیا (۲۵٪ افزایش طول)، پس از ۱۵ دوره کاری تغییرات دمایی منظمی دارد و عملکرد قابل قبولی از خود به نمایش می‌گذارد. لازم به ذکر است، میزان توان اعمالی به ماده، به عنوان عاملی برای تولید گرمای ژول و تغییر فاز اتانول‌های

برآورده می‌سازد. استفاده از مقدار کم‌تر سیال تغییرفازدهنده درون ماهیچه، علاوه بر ساده‌تر کردن فرایند سنتز ماده، امکان کنترل بیشتر بر متغیرهای فرایند و رفتار حرکتی ماهیچه را فراهم می‌آورد. در همین خصوص در صد حجمی معادل با ۳۰٪ به عنوان مقدار بهینه سیال تغییرفازدهنده انتخاب گردید.

### تغییرات دمایی و جابه‌جایی عملگر نرم (ماهیچه مصنوعی)

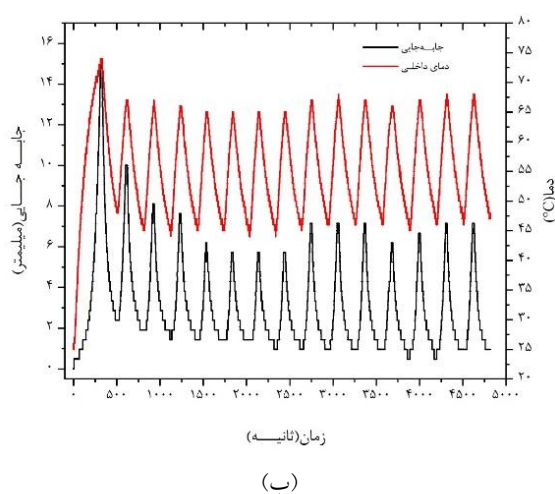
به منظور بررسی تغییرات دمایی و جابه‌جایی ماهیچه مصنوعی، دو نمونه کامپوزیتی با ۳۰٪ حجمی اتانول ساخته شد (مطابق با توصیف بخش ۱-۲-۲) و سنسور دما (pt1000) به منظور پایش دمای مغزی ماهیچه، در داخل آن‌ها تعبیه شد. با اعمال تحریک الکتریکی معادل با ۱۰ وات به سیم‌پیچ تعبیه شده در عملگر، ماده در اثر گرمای ژول از دمای اتاق ( $25^{\circ}\text{C}$ ) شروع به گرم شدن نمود و این گرمایش تا تغییر فاز اتانول ادامه پیدا کرد. لازم به ذکر است در این پژوهش مقدار جابه‌جایی ماهیچه مصنوعی با قرارگیری یک دوربین تحت وب در بالای آن و با استفاده از الگوریتم پردازش تصویر اندازه‌گیری شد. شکل (۳) بیانگر رفتار دما-جابه‌جایی دو نمونه کامپوزیتی برای ۱۵ دوره کاری می‌باشد. در نمونه ۱ زمان استراحت ماهیچه پس از هر دوره تحریک ۱۰۰ ثانیه (نمودار الف-۳) و در نمونه ۲ زمان استراحت ماهیچه پس از هر دوره تحریک ۲۰۰ ثانیه (نمودار ب-۳) در نظر گرفته شد. در ادامه با ثابت نگه داشتن زمان تحریک برابر با ۱۱۰ ثانیه، به منظور یکسان‌سازی انرژی اعمالی به ربات نرم در تمامی سیکل‌های کاری، آزمون انجام شد و پاسخ دمایی و رفتار حرکتی نمونه‌ها بررسی شد.

مطابق با نتایج ارائه شده در نمودارهای (ب و الف-۴) مقادیر بی‌شینه و کمینه جابه‌جایی و دما (جابه‌جایی و دما در پایان تحریک و پایان استراحت هر دوره) نمونه ۱ نسبت به نمونه ۲ بالاتر است. رخداد نتایج حاصل را می‌توان به تفاوت زمان استراحت دو نمونه نسبت داد. نمونه ۱ به دلیل



زمان (ثانیه)

(الف)



زمان (ثانیه)

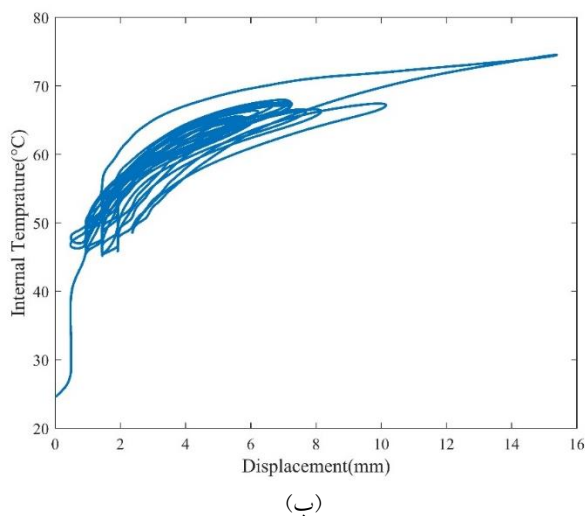
(ب)

شکل ۳ بررسی تأثیر زمان استراحت در تغییرات دما و جابه‌جایی کامپوزیت‌های سیلیکون- اتانول، نمونه ۱، زمان استراحت ۱۰۰ ثانیه پس از هر دوره تحریک، (ب) نمونه ۲، زمان استراحت ۲۰۰ ثانیه پس از هر دوره تحریک

با دست‌یابی عملگر به طول تعیین‌شده (۲۵٪ طول اولیه) تحریک الکتریکی قطع می‌شود و دوره استراحت ماده تا دست‌یابی به طول اولیه (با در نظر گرفتن کرنش پلاستیک) ادامه می‌یابد. همان‌طور که در شکل (۴) مشاهده می‌شود، سرعت بازیابی شکل اولیه در زمان‌های آغازین دوره استراحت قابل توجه است که می‌توان آن را به آزادسازی انرژی کرنش الاستیک در ماده نسبت داد؛ این در حالی است که با گذشت زمان، سرعت بازیابی شکلی به‌علت کاهش انرژی کرنش الاستیک برای آزادسازی، کاهش می‌یابد.

مستقر در میکروکپسول‌های سیلیکونی، تابعی از وزن ماده می‌باشد. با افزایش وزن عملگر، مقدار اتانول موجود در ساختار ماده افزایش پیدا می‌کند و به انرژی بیشتری برای تغییر فاز آن‌ها و دست‌یابی به عملکرد حرکتی مشابه با قبل نیاز است. عامل مذکور سبب افزایش توان اعمالی به عملگرهای ساخته شده در پژوهش حاضر (۱۲W) نسبت به نمونه ارائه شده توسط Miriyev و همکارانش (۸W) [26] شده است.

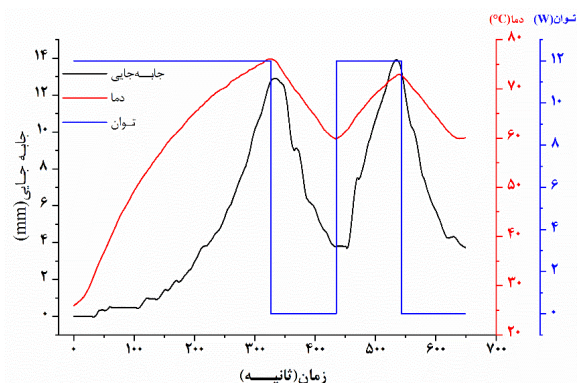
شکل (۴) بیانگر رابطه میان حالت تحریک و استراحت نمونه ۱ (زمان استراحت برابر با ۱۰۰ ثانیه) با دمای داخلی، جابه‌جایی و توان اعمالی در دو سیکل ابتدایی می‌باشد. با اعمال تحریک الکتریکی، نمونه‌ها تحت توان ۱۲W از دمای  $25^{\circ}\text{C}$  به واسطه گرمای ژول حاصل از سیم‌پیچ از جنس Ni-Cr شروع به گرم شدن می‌کنند. همان‌طور که در شکل (۴) مشاهده می‌شود، در آغاز تحریک الکتریکی، عملکرد حرکتی ماده کند است اما با ادامه تحریک و افزایش فشار بخار اتانول داخل میکروکپسول‌ها، جابه‌جایی ماده با سرعت بیشتری انجام می‌گیرد. همان‌طور که مشاهده می‌شود، سرعت جابه‌جایی ماده در سیکل دوم به مراتب نسبت به سیکل تحریکی نخستین بیشتر می‌باشد؛ به طوری که مدت زمان تحریک از ۳۲۵ ثانیه در سیکل اول به ۸۵ ثانیه در سیکل دوم کاهش پیدا می‌کند. علت این امر را می‌توان به انرژی حرارتی ذخیره شده و پیش‌گرمایش ایجادشده در ماده پس از اعمال سیکل تحریکی نخست نسبت داد. با توجه به هم‌دما بودن عملگر با محیط بیرونی ( $25^{\circ}\text{C}$ ) در سیکل نخست، ماده به‌منظور تغییر فاز اتانول‌های مستقر در میکروکپسول‌های سیلیکونی از فاز مایع به بخار نیازمند دریافت انرژی بالاتری می‌باشد؛ این در حالی است که دمای داخلی ماده در شروع سیکل تحریکی دوم برابر با  $60^{\circ}\text{C}$  است که به‌معنای انباشت انرژی در ماده و پیش‌گرمایش آن می‌باشد.



شکل ۵ منحنی حلقه‌ای شکلی (هیستریزیس) از رسم تغییرات طول نسبت به تغییرات دما: الف) نمونه ۱ با زمان استراحت برابر ۱۰۰ ثانیه، ب) نمونه ۲ با زمان استراحت برابر ۲۰۰ ثانیه

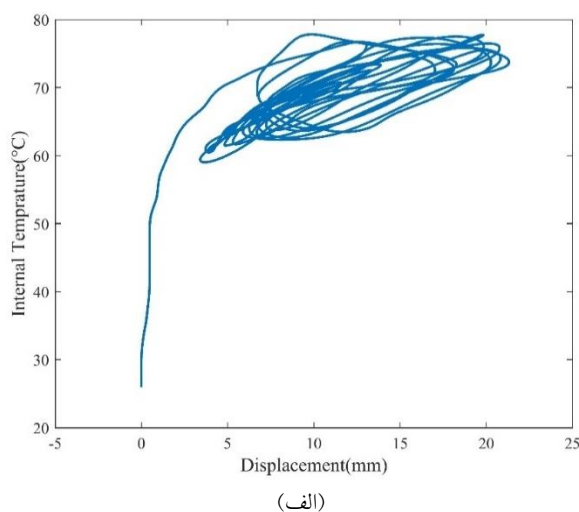
**تغییرات وزنی و ترکیب شیمیایی ماهیچه مصنوعی**

باتوجه به یک‌سان بودن ترکیب شیمیایی در تمامی نمونه‌ها، مقدار اتانول موجود در ساختار تمامی ماهیچه‌ها پیش از آغاز تحریک یکسان و برابر با ۲۰٪ حجمی، معادل با 3.67gT می‌باشد. باتوجه به ماهیت فرار اتانول، به‌منظور بررسی تأثیر سیکل‌های متمادی تحریک الکتریکی بر روی ماندگاری سیال تغییرفازدهنده در نمونه و همچنین پایداری ترکیب شیمیایی ماهیچه، تمامی نمونه‌ها قبل و بعد از دوره تحریک، توزین شدند. شکل (۶) بیانگر درصد کاهش وزن نمونه‌های کامپوزیتی پس از اتمام دوره تحریک الکتریکی و سپری شدن ۱۵ سیکل می‌باشد. با آغاز تحریک الکتریکی و بالا رفتن دما، علاوه بر افزایش فشار بخار اتانول داخل میکروکپسول‌های سیلیکونی، زنجیره‌های پلیمری با جذب انرژی، جنب و جوش و تحرک بیشتری پیدا می‌کنند و فاصله زنجیره‌ها از یکدیگر افزایش پیدا می‌کند. با افزایش فاصله زنجیره‌های پلیمری از یکدیگر و همچنین افزایش فشار بخار اتانول داخل کامپوزیت، شرایط برای خروج اتانول از داخل حباب و کپسول‌ها فراهم می‌شود و میزان هدررفت اتانول افزایش پیدا می‌کند. در جهت افزایش پایداری ترکیب



شکل ۴ رابطه میان حالت تحریک و استراحت نمونه ۱ (زمان استراحت برابر با ۱۰۰ ثانیه) با دمای داخلی، جابه‌جایی و توان اعمالی در دو سیکل ابتدایی

در شکل (۵) منحنی حلقه‌ای شکل (هیستریزیس) از رسم تغییرات طول نسبت به تغییرات دما با گذشت زمان، برای نمونه‌های ۱ و ۲ نشان داده شده است. همان‌طور که در نمودار (۵-الف) مشاهده می‌شود، تمرکز حلقه‌های منحنی هیستریزیس نمونه ۱ با زمان استراحت ۱۰۰ ثانیه، برای عملکرد جابه‌جایی در بازه ۱۰ الی ۱۵ میلی‌متر و برای پاسخ دمایی در گستره ۶۰ الی ۷۰ درجه سانتی‌گراد می‌باشد. این در حالی است که در نمونه ۲ با زمان استراحت ۲۰۰ ثانیه، جابه‌جایی عملگر در بازه ۴ الی ۶ میلی‌متر و پاسخ دمایی آن در گستره ۵۰ الی ۶۰ درجه سانتی‌گراد تغییر می‌کند. علت تفاوت رفتار حرکتی و پاسخ دمایی عملگرهای مورد ارزیابی را می‌توان به افزایش انبساط انرژی حرارتی در ماده با کاهش زمان استراحت آن‌ها نسبت داد.

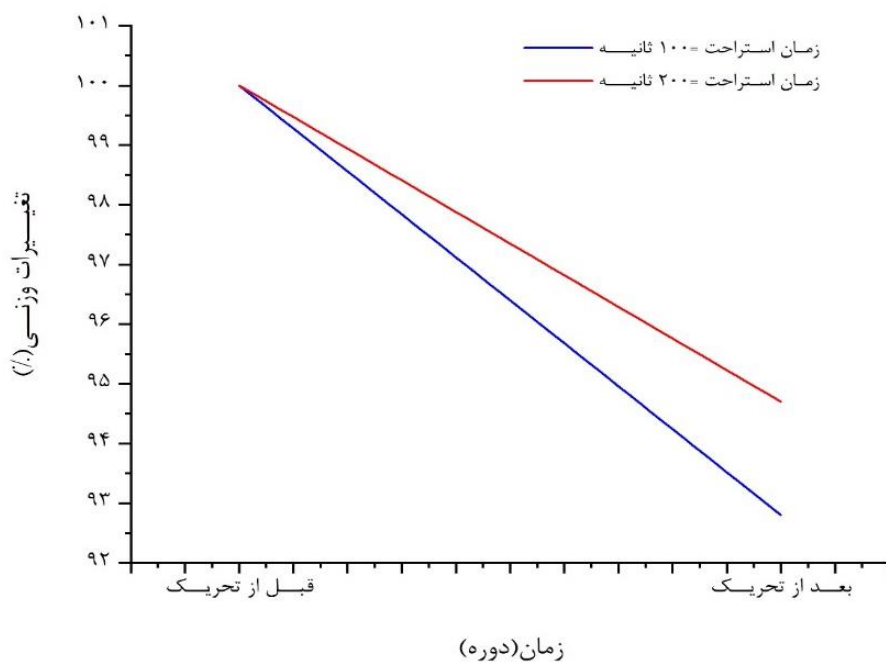




نمونه ۲، حداقل به میزان  $10^{\circ}\text{C}$  (شکل ۳) می باشد. باتوجه به مقدار بیشتر انبارش انرژی در نمونه ۱ نسبت به نمونه ۲ (بخش ۲-۳)، هدر رفت اتانول در آن بیشتر است و همان طور که در جدول (۲) مشاهده می شود به میزان ۱۲٪ معادل با ۰,۴۴ گرم، اتانول بیشتری از دست داده است. کاهش اتانول در ساختار به عنوان عامل اصلی ایجاد نیروی مکانیکی موجب کاهش توانایی حرکتی عملگر می گردد. ا نگاهی دقیق تر به نمودار (۴- الف) مشخص می شود که بیشینه میزان جابه جایی ماهیچه در سیکل هشتم ۲۱mm و پس از آن کاهش توانایی جابه جایی کامپوزیت تا سیکل پانزدهم ۱۸mm می باشد.

شیمیایی عملگر و افزایش طول عمر آن، انجام فرایند جوان سازی با غوطه وری عملگر پس از هر دوره کاری در اتانول در پژوهش های آتی پیشنهاد می گردد. با نفوذ مجدد اتانول به میکروکپسول ها در حین فرایند جوان سازی، ترکیب شیمیایی عملگر به ترکیب ابتدایی خود نزدیک می گردد. هم چنین با ایجاد روکشی محافظ و کشسان (ترجیحا از جنس زمینه کامپوزیت) بر روی عملگر می توان از هدر رفت اتانول تا حد زیادی جلوگیری کرد.

همان طور که در شکل (۶) مشاهده می شود، شیب نمودار تغییرات وزنی نمونه ۱، با زمان استراحت ۱۰۰ ثانیه شدیدتر از نمونه ۲ با زمان استراحت ۲۰۰ ثانیه می باشد. علت این امر بالاتر بودن دمای داخلی نمونه ۱ نسبت به



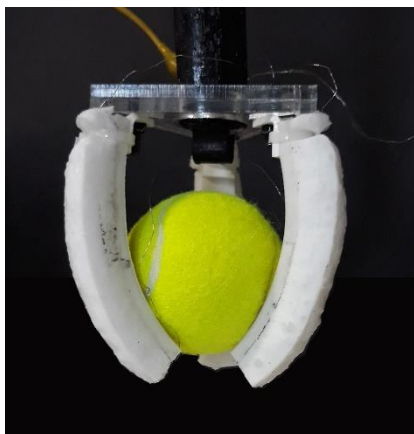
شکل ۶ درصد کاهش وزن نمونه های کامپوزیتی پس از اتمام دوره تحریک الکتریکی و سپری شدن ۱۵ سیکل

جدول ۲ درصد کاهش اتانول و جرم نمونه ها پس از گذشت ۱۵ سیکل تحریک

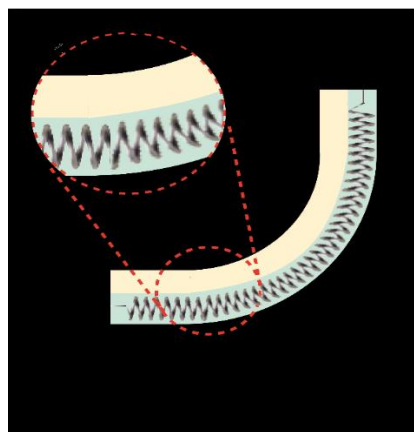
نمونه	درصد جرم کاهش یافته کل (%)	جرم اتانول کاهش یافته (gr)	درصد اتانول کاهش یافته (%)
۱۰۰ ثانیه استراحت = نمونه ۱	۹۲,۸	۱,۶۶	۴۵
۲۰۰ ثانیه استراحت = نمونه ۲	۹۴,۷	۱,۲۲	۳۳

غیر فعال، به صورت شعاعی شروع به حرکت می‌کند و حرکت ماهیچه‌های طبیعی را شبیه‌سازی می‌کند (۷-الف). باتوجه به آرایش سه تایی عملگرهای نرم خم‌شونده (bending soft actuator)، با اتصال موازی آن‌ها به منبع تغذیه (ولتاژ ۲۹۷ و جریان ۲۸)، به هر یک توانی کمتر از ۲۰ وات اعمال شد. به محض آغاز تحریک الکتریکی، پنجه رباتیکی طراحی شده به سمت اشیای مورد نظر حرکت کرد و آن‌ها را با برداری نمود. ربات ساخته شده قادر به باربرداری اجسام سنگین (بیش از ۲۰۰ گرم) و همچنین اشیایی با اشکال مختلف می‌باشد (۵-ب-ج-د). فیلمی از نحوه باربرداری عملگر نرم کامپوزیتی در فایل پیوست شماره (۱) قابل مشاهده است.

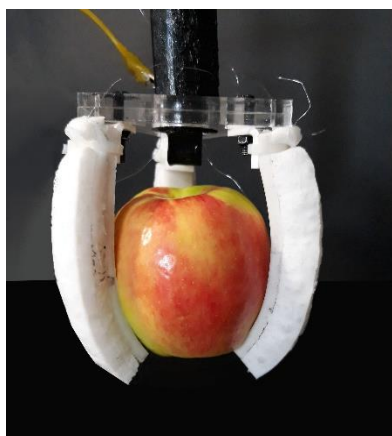
طراحی و ساخت پنجه رباتیکی نرم (soft gripper) در شکل (۷) امکان استفاده از عملگر نرم الکتروفعال ساخته شده، به عنوان پنجه رباتیکی نشان داده شده است. پنجه رباتیکی ساخته شده به طور ویژه‌ای کارآمد است و بدون نیاز به تجهیزات جانبی نظیر کمپرسور و دستگاه‌های تنظیم‌کننده فشار، صرفاً از جریان مستقیم به عنوان منبع تغذیه استفاده می‌کند. همان‌طور که در شکل (۷-الف) مشاهده می‌شود، برای طراحی ربات نرم با قابلیت تقلید حرکات طبیعی موجودات زنده، از یک لایه غیرفعال (سیلیکون) چسبیده به لایه با قابلیت پاسخگویی به محرک خارجی متشکل از کامپوزیت سیلیکون-اتانول استفاده شد. با شروع تحریک الکتریکی، نمونه به علت افزایش طول نامتقارن لایه فعال و



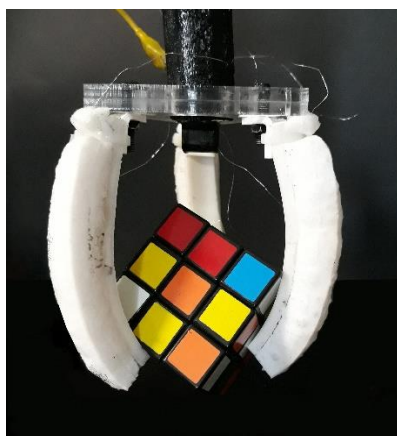
(ب)



(الف)

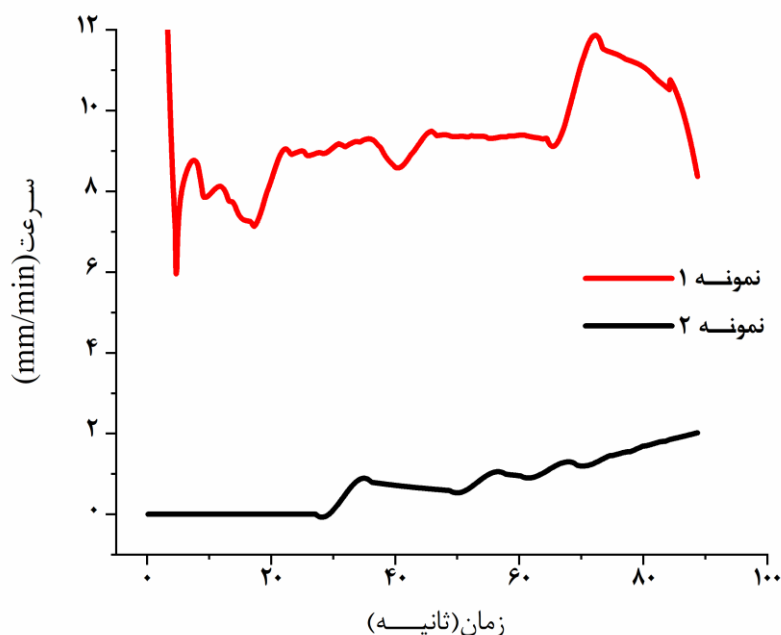


(د)



(ج)

شکل ۷ الف) شماتیک طراحی و مکانیزم حرکتی پنجه رباتیکی نرم، ب) باربرداری توپ تنیس به وزن ۶۰ گرم، ج) باربرداری مکعب روبیک به وزن ۱۱۰ گرم، د) باربرداری سیب به وزن ۲۰۵ گرم



شکل ۸ تغییرات سرعت برحسب زمان نمونه‌های ۱ و ۲ به ترتیب با ۱۰۰ و ۲۰۰ ثانیه زمان استراحت

### ارزیابی دینامیکی عملگرهای نرم کامپوزیتی

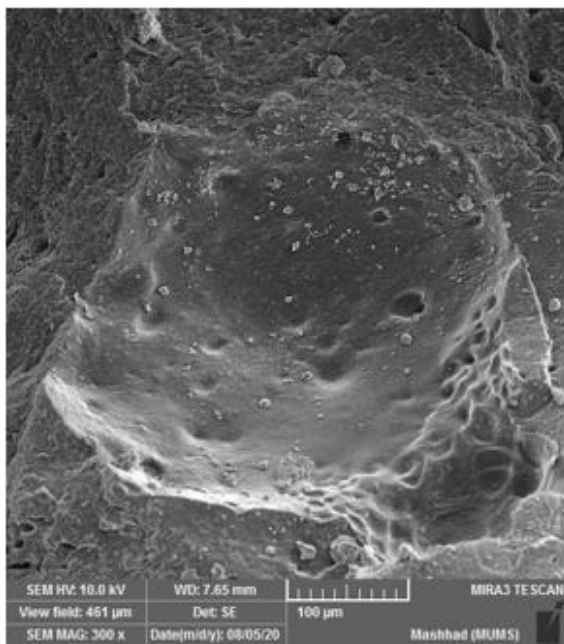
به منظور مقایسه عملکرد دینامیکی نمونه‌های ۱ و ۲ به ترتیب با ۱۰۰ و ۲۰۰ ثانیه زمان استراحت، سرعت لحظه‌ای بخش آزاد ماهیچه در حالت بی بار مورد ارزیابی و مقایسه قرار گرفت. با توجه به برخورداری هر دو نمونه از زمان تحریک یکسان (۱۰۰s)، تفاوت رفتار حرکتی و سرعت لحظه‌ای دو نمونه به اختلاف در مدت زمان سیکل استراحت آن‌ها نسبت داده می‌شود. همان‌طور که در شکل (۸) مشاهده می‌شود، با توجه به برخورداری نمونه ۱ از زمان استراحتی معادل با نصف نمونه ۲، همواره دمای داخلی آن به علت عدم فرصت کافی برای انتقال به محیط بیرون، بالاتر از نمونه ۲ می‌باشد (شکل ۳). بالاتر بودن دمای داخلی نمونه ۱، منجر به فشار بخار داخلی بالاتر آن نسبت به نمونه ۲ می‌گردد. به موجب این امر با دریافت مقدار یکسان انرژی (زمان تحریک یکسان)، تغییر فاز اتانول و افزایش فشار

بخار داخل میکروکپسول‌های نمونه ۱ نسبت به نمونه ۲ با سرعت بیشتری انجام می‌شود و همان‌طور که شکل (۸) نشان می‌دهد، سرعت لحظه‌ای نمونه ۱ نسبت به نمونه ۲، حداقل به میزان ۴ برابر بیشتر می‌باشد.

### ساختار میکروسکوپی کامپوزیت

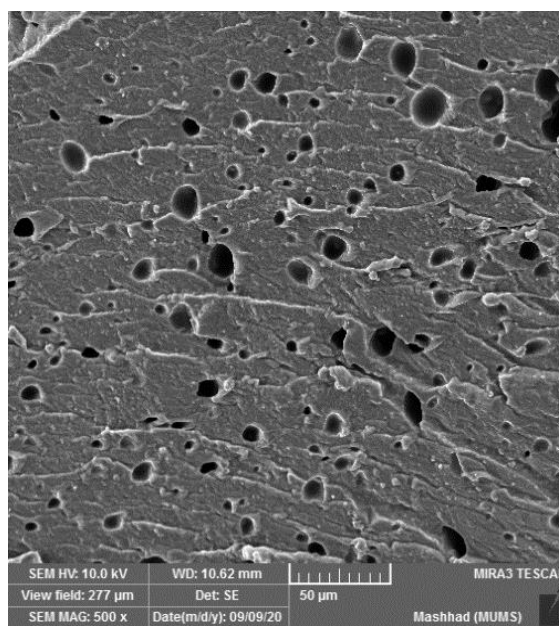
برای مشاهده مورفولوژی ماهیچه مصنوعی، کامپوزیتی با ۳۰٪ حجمی ساخته شد و پس از طی ۱۵ سیکل تحریکی با زمان استراحتی برابر با ۲۰۰ ثانیه، ساختار میکروسکوپی آن مورد بررسی قرار گرفت. شکل (۹) بیانگر توزیع اتانول درون زمینه کامپوزیت درون میکرو حفراتی با سطوح ساده و صاف به بزرگی میکرون (۹-الف) و همچنین داخل میکروکپسول‌های هوایی بزرگ‌تر (۵-ب) می‌باشد. توزیع همگن اتانول به عنوان فاز فعال درون میکرو حفرات مذکور منجر به همسان‌گردی کامپوزیت می‌گردد. در ساختار

ذکر است هرچند که توپوگرافی سطوح مورد تحقیق پیچیده و چروک‌دار است (۵-ج)، اما هیچ‌گونه میکروتورکی داخلی زمینه پلیمری مشاهده نمی‌شود.

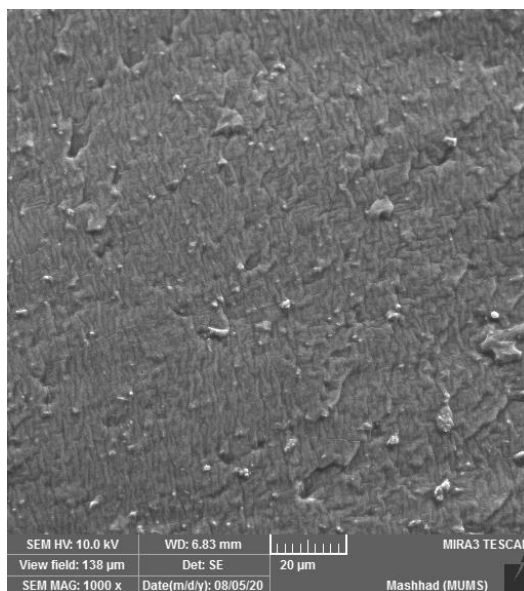


(ب)

میکروسکوپی کامپوزیت، حفرات هوایی به بزرگی قطر ۵۰ تا ۱۰۰ میکرومتر در کنار حفرات متعدد ریز با میانگین قطر ۲۰ میکرومتر مشاهده شد. جالب توجه است که حفرات کوچک با اندازه میکرونی، حتی بر روی سطوح داخلی حفرات هوایی بزرگ نیز مشاهده می‌شوند (۵-ب). لازم به



(الف)



(ج)

شکل ۹ تصاویر میکروسکوپ FESEM کامپوزیت با ۳۰٪ حجمی اتانول پس از ۱۵ سیکل تحریکی در بزرگ‌نمایی‌های مختلف

## نتیجه‌گیری

نتایج حاصل از بررسی رفتار حرکتی و دمایی بیانگر انباشت انرژی بیشتر نمونه اول با زمان استراحت ۱۰۰ ثانیه نسبت به نمونه دوم با زمان استراحت ۲۰۰ ثانیه می‌باشد، به طوری که دمای داخلی آن به میزان  $10^{\circ}\text{C}$  بیشتر است. بیشتر بودن دمای داخلی نمونه اول موجب تسریع هدرفت اتانول در آن می‌شود، به طوری که پس از ۱۵ سیکل تحریکی به مقدار ۴۵٪ از اتانول موجود در ساختار خود را از دست می‌دهد؛ این در حالی است که نمونه دوم تنها به میزان ۳۳٪ معادل با ۱،۲۲ گرم از اتانول موجود در میکروکپسول‌های سیلیکونی خود را از دست داده است و شرایط پایدارتری نسبت به نمونه اول دارد. سرعت بالای هدرفت اتانول در نمونه اول منجر به کاهش قابلیت حرکتی آن می‌شود به طوری که از سیکل هشتم به بعد، حداکثر مقدار جابه‌جایی قابل دستیابی روندی نزولی دارد و از ۲۱mm به ۱۸mm کاهش پیدا می‌کند.

در این پژوهش کامپوزیت پلیمری متشکل از سیلیکون الاستومر به عنوان زمینه و اتانول به عنوان سیال تغییرفازدهنده ساخته شد. طبق یافته‌های حاصل از آزمون دو مرحله‌ای، در صد حجمی معادل با ۳۰٪ از سیال تغییرفازدهنده به عنوان مقدار بهینه فاز ثانویه انتخاب شد. طبق مشاهدات FESEM، مشخص شد که اتانول در سراسر زمینه سیلیکونی و داخل بسته‌هایی کروی شکل در اندازه میکرونی ( $200\mu\text{m}$ ) و هم‌چنین داخل حباب‌های هوایی در اندازه‌ای بزرگ‌تر ( $50\text{m}-1100\mu\text{m}$ ) توزیع شده است. باتوجه به مکانیزم کاری عملگر مینی‌بر تحریک الکتریکی و گرمای ژول حاصل از مقاومت سیم از جنس Ni-Cr، با رسیدن دمای مغز به حدود  $55^{\circ}\text{C}$  انبساط ماده به علت جوشش اتانول و ایجاد فشار بخار داخلی با سرعت بیشتری صورت می‌گیرد و رفتار حرکتی ماده آشکار می‌شود.

## مراجع

- Lee, C., Kim, M., Kim, Y. J., Hong, N., Ryu, S., Kim, H. J., Kim, S., "Soft Robot Review", *Int. J. Control. Autom. Syst.* Vol. 15, pp. 3–15. <https://doi.org/10.1007/s12555-016-0462-3>, (2017).
- George Thuruthel, T., Ansari, Y., Falotico, E., Laschi, C., "Control Strategies for Soft Robotic Manipulators: A Survey", *Soft Robot.* Vol. 5, pp. 149–163. <https://doi.org/10.1089/soro.2017.0007>, (2018).
- Bogue, R., "Artificial Muscles and Soft Gripping: A Review of Technologies and Applications", *Ind. Rob.* 39, pp. 535–540. <https://doi.org/10.1108/01439911211268642>, (2012).
- Gorissen, B., Reynaerts, D., Konishi, S., Yoshida, K., Kim, J. W., De Volder, M., "Elastic Inflatable Actuators for Soft Robotic Applications", *Adv. Mater.* 29, <https://doi.org/10.1002/adma.201604977>, (2017).
- Miriyev, A., "A Focus on Soft Actuation", *Actuators.* 8, <https://doi.org/10.3390/ACT8040074>, (2019).
- Manti, M., Hassan, T., Passetti, G., D'Elia, N., Laschi, C., Cianchetti, M., "A Bioinspired Soft Robotic Gripper for Adaptable and Effective Grasping", *Soft Robot.* 2, 107–116. (2015).
- Mirvakili, S. M., Hunter, I. W., "Artificial Muscles: Mechanisms, Applications, and Challenges", *Adv. Mater.* 30. <https://doi.org/10.1002/adma.201704407>, (2018).
- Mirfakhrai, T., Madden, J. D. W., Baughman, R. H., "Polymer Artificial Muscles", *Mater. Today.* 10, pp. 30–38. [https://doi.org/10.1016/S1369-7021\(07\)70048-2](https://doi.org/10.1016/S1369-7021(07)70048-2), (2007).
- Bar-Cohen, Y., "Electroactive Polymers as Artificial Muscles: A Review", *J. Spacecr. Rockets.* Vol. 39, pp.

- 822–827. <https://doi.org/10.2514/2.3902>, (2002).
10. Meng, H., Li, G., "A Review of Stimuli-Responsive Shape Memory Polymer Composites", *Polymer (Guildf)*. 54, Pp. 2199–2221. <https://doi.org/10.1016/j.polymer.2013.02.023>, (2013).
  11. Saga, N., Nagase, J., Saikawa, T., "Pneumatic Artificial Muscles Based on Biomechanical Characteristics of Human Muscles", *Appl. Bionics Biomech.* 3, Pp. 191–197. <https://doi.org/10.1533/abbi.2006.0028>, (2006).
  12. Tzou, H. S., Lee, H. J., Arnold, S. M., "Smart Materials, Precision Sensors/Actuators, Smart Structures, and Structronic Systems", *Mech. Adv. Mater. Struct.* 11, Pp. 367–393. (2004).
  13. Mondal, S., "Phase Change Materials for Smart Textiles - An Overview", *Appl. Therm. Eng.* 28, Pp. 1536–1550. <https://doi.org/10.1016/j.applthermaleng.2007.08.009>, (2008).
  14. Ogden, S., Klintberg, L., Thornell, G., Hjort, K., Bodén, R., "Review on Miniaturized Paraffin Phase Change Actuators, Valves, and Pumps", *Microfluid. Nanofluidics.* 17, Pp. 53–71. <https://doi.org/10.1007/s10404-013-1289-3>, (2014).
  15. Qiu, X., Li, W., Song, G., Chu, X., Tang, G., "Microencapsulated N-Octadecane with Different Methylmethacrylate-Based Copolymer Shells as Phase Change Materials for Thermal Energy Storage", *Energy.* 46, Pp. 188–199. <https://doi.org/10.1016/j.energy.2012.08.037>, (2012).
  16. Cui, Y., Liu, C., Hu, S., Yu, X., "The Experimental Exploration of Carbon Nanofiber and Carbon Nanotube Additives on Thermal Behavior of Phase Change Materials", *Sol. Energy Mater. Sol. Cells.* 95, Pp. 1208–1212. <https://doi.org/10.1016/j.solmat.2011.01.021>, (2011).
  17. Chellattoan, R., Yudhanto, A., Lubineau, G., "Low-Voltage-Driven Large-Amplitude Soft Actuators Based on Phase Transition", *Soft Robot.* 7, Pp. 688–699. <https://doi.org/10.1089/soro.2019.0150>, (2020).
  18. Kang, D. J., An, S., Yarin, A. L., Anand, S., "Programmable Soft Robotics Based on Nano-Textured Thermo-Responsive Actuators", *Nanoscale.* 11, Pp. 2065–2070. <https://doi.org/10.1039/c8nr08215d>, (2019).
  19. Miriyev, A., Xia, B., Joseph, J. C., Lipson, H., "Additive Manufacturing of Silicone Composites for Soft Actuation", *3D Print. Addit. Manuf.* 6, Pp. 309–318. <https://doi.org/10.1089/3dp.2019.0116>, (2019).
  20. Miriyev, A., Caires, G., Lipson, H., "Functional Properties of Silicone/Ethanol Soft-Actuator Composites", *Mater. Des.* 145, Pp. 232–242. <https://doi.org/10.1016/j.matdes.2018.02.057>, (2018).
  21. Cartolano, M., Xia, B., Miriyev, A., Lipson, H., "Conductive Fabric Heaters for Heat-Activated Soft Actuators", *Actuators.* 8, <https://doi.org/10.3390/act8010009>, (2019).
  22. Xia, B., Miriyev, A., Trujillo, C., Chen, N., Cartolano, M., Vartak, S., Lipson, H., "Improving the Actuation Speed and Multi-Cyclic Actuation Characteristics of Silicone/Ethanol Soft Actuators", *Actuators.* 9. <https://doi.org/10.3390/ACT9030062>, (2020).
  23. Miriyev, A., Trujillo, C., Caires, G., Lipson, H., "Rejuvenation of Soft Material-Actuator", *MRS Commun.* 8, Pp. 556–561. <https://doi.org/10.1557/mrc.2018.30>, (2018).
  24. Otero, T. F., Sansiñena, J. M., "Soft and Wet Conducting Polymers for Artificial Muscles", *Adv. Mater.* 10,

- Pp. 491–494. [https://doi.org/10.1002/\(SICI\)1521-4095\(199804\)10:6<491::AID-ADMA491>3.0.CO;2-Q](https://doi.org/10.1002/(SICI)1521-4095(199804)10:6<491::AID-ADMA491>3.0.CO;2-Q), (1998).
25. Bilodeau, R. A., Mohammadi Nasab, A., Shah, D. S., Kramer-Bottiglio, R., "Uniform Conductivity in Stretchable Silicones: Via Multiphase Inclusions", *Soft Matter*. 16, pp. 5827– 5839. <https://doi.org/10.1039/d0sm00383b>, (2020).
26. Miriyev, A., Stack, K., Lipson, H., "Soft Material for Soft Actuators", *Nat. Commun.* 8. <https://doi.org/10.1038/s41467-017-00685-3>, (2017).

